

Дорошин А.В., Ерёменко А.В.

**ДИНАМИКА ПРОСТРАНСТВЕННОГО ДВИЖЕНИЯ  
НАНОСПУТНИКА СО СТАБИЛИЗИРУЕМЫМ ОТНОСИТЕЛЬНЫМ  
ПОЛОЖЕНИЕМ ПОДВИЖНОГО УСТРОЙСТВА**

**Механическая и математическая модели**

На рис. 1 представлена механическая структура составного (двутельного) космического аппарата (КА) со взаимосвязями и внутренними степенями свободы.

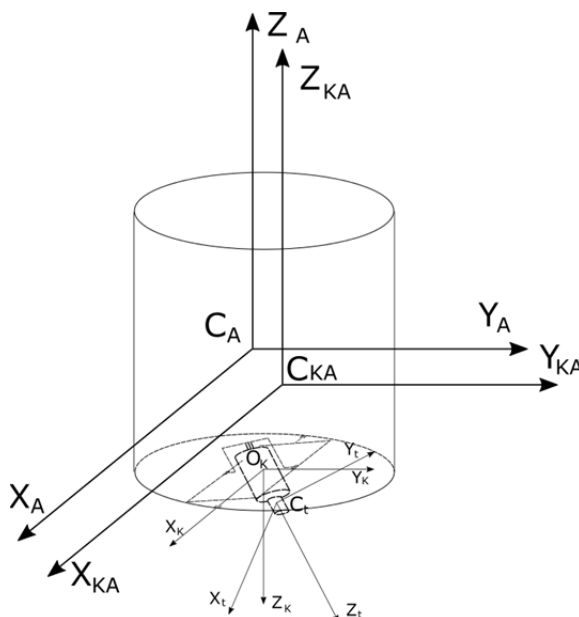


Рис. 1. Структура КА с внутренними степенями свободы: 1 – корпус космического аппарата (несущее тело), тело 2 – подвижное устройство в кардановом подвесе

Введем следующую группу систем координат:

–  $C_{KA}X_{KA}Y_{KA}Z_{KA}$  – система координат, начало которой совпадает с центром масс составного КА, а оси параллельны главным центральным осям инерции корпуса (несущего тела) космического аппарата;

–  $C_A X_A Y_A Z_A$  – система координат, начало которой совпадает с центром масс несущего тела, а оси являются главными центральными осями инерции несущего тела;

–  $O_K X_K Y_K Z_K$  – система координат, начало которой совпадает с неподвижной точкой карданова подвеса, оси которой остаются параллельными осям главными центральными осями инерции несущего тела;

–  $C_t X_t Y_t Z_t$  – система координат, начало которой совпадает с центром масс подвижного устройства, а оси являются главными центральными осями инерции

подвижного устройства (ПУ).

Рассмотрим движение составного КА в системе координат  $C_{КА}X_{КА}Y_{КА}Z_{КА}$ , которую будем именовать основной. Определим положения центров масс частей космического аппарата в основной системе координат (рис.1). Для нахождения динамических уравнений описывающих угловое движение корпуса КА запишем теорему об изменении кинетического момента

$$\left( \frac{\tilde{d}\mathbf{K}_1}{dt} + \boldsymbol{\omega}_1 \times \mathbf{K}_1 \right) + \mathbf{A}_1 \left( \frac{\tilde{d}\mathbf{K}_2}{dt} + \boldsymbol{\omega}_2 \times \mathbf{K}_2 \right) = \mathbf{M}_c^e, \quad (1)$$

где  $K_1$  – кинетический момент корпуса КА,  $\boldsymbol{\omega}_1$  вектор угловой скорости корпуса КА,  $K_2$  – кинетический момент подвижного устройства,  $\boldsymbol{\omega}_2$  – вектор угловой скорости подвижного устройства,  $\mathbf{M}_c^e$  – вектор моментов внешних возмущающих сил.

Для нахождения оставшихся двух уравнений движения составного КА, описывающих внутренние степени свободы, найдём кинетическую энергию системы и запишем уравнение Лагранжа второго рода:

$$T = \frac{1}{2} (\mathbf{K}_1 \boldsymbol{\omega}_1 + \mathbf{K}_2 \boldsymbol{\omega}_2 + m_1 \mathbf{V}_1^2 + m_2 \mathbf{V}_2^2), \quad (2)$$

где  $T$  – полная кинетическая энергия механической системы.

Так как на механическую систему не действуют потенциальные силы, уравнение Лагранжа запишется в следующем виде

$$L = \frac{d}{dt} \frac{\partial T}{\partial \dot{\varphi}_i} - \frac{\partial T}{\partial \varphi_i} = 0, \quad (3)$$

где  $\varphi_i$  – обобщённые координаты,  $\dot{\varphi}_i$  – обобщённые скорости механической системы.

Уравнения (1) и (3) образуют систему динамических уравнений движения составного КА

$$\left\{ \begin{array}{l} \left( \frac{\tilde{d}\mathbf{K}_a}{dt} + \boldsymbol{\omega}_a \times \mathbf{K}_a \right) + \mathbf{A}_2 \left( \frac{\tilde{d}\mathbf{K}_t}{dt} + \boldsymbol{\omega}_t \times \mathbf{K}_t \right) = \mathbf{M}_c^e, \\ \frac{d}{dt} \frac{\partial T}{\partial \dot{\varphi}_i} - \frac{\partial T}{\partial \varphi_i} = \mathbf{M}_c^e + \mathbf{M}_c^i. \end{array} \right. \quad (4)$$

Здесь  $\mathbf{M}_c^i$  – вектор внутренних управляющих моментов:

$$\mathbf{M}_c^i = \begin{cases} c_1 (\varphi_1 - \varphi_{1k}) + d_1 (\dot{\varphi}_1 - \dot{\varphi}_{1k}), \\ c_2 (\varphi_2 - \varphi_{2k}) + d_2 (\dot{\varphi}_2 - \dot{\varphi}_{2k}), \end{cases} \quad (5)$$

где  $c_1, d_1, c_2, d_2$  – безразмерные коэффициенты усиления,  $\varphi_{ik}$  – конечное значение

обобщённой координаты,  $\varphi_{ik}$  – конечное значение обобщённой скорости.

Компоненты угловых скоростей частей составного КА, при выбранной последовательности поворотов  $X \rightarrow Y \rightarrow Z$ , определяются следующими кинематическими уравнениями:

$$\begin{cases} p_i = \dot{\alpha}_i \cos(\beta_i) \cos(\gamma_i) + \dot{\beta}_i \sin(\gamma_i), \\ q_i = -\dot{\alpha}_i \cos(\beta_i) \sin(\gamma_i) + \dot{\beta}_i \cos(\gamma_i), \\ r_i = \dot{\alpha}_i \sin(\beta_i) + \dot{\gamma}_i, \end{cases} \quad (6)$$

где  $p_i, q_i, r_i$  – проекции угловой скорости  $\omega_i$  на оси системы координат  $C_A X_A Y_A Z_A$ , при  $i=1$  и на систему координат  $C_t X_t Y_t Z_t$ , при  $i=2$ ,  $\alpha_i, \beta_i, \gamma_i$  – углы Крылова ( $\gamma_2 = \dot{\gamma}_2 = 0$ ).

### Результаты численного моделирования

Принимались следующие начальные условия и параметры составного КА:  $m_1=10$  [кг],  $m_2=10$  [кг]; моменты инерции КА:  $A_1=40$ ,  $B_1=30$  [кг\*м<sup>2</sup>],  $C_1=20$  [кг\*м<sup>2</sup>]; моменты инерции ПУ:  $A_2=B_2=20$  [кг\*м<sup>2</sup>],  $C_2=50$  [кг\*м<sup>2</sup>]; начальные значения угловых скоростей КА:  $p_1=q_1=r_1=0,3$  [рад/с]; начальные значения углов КА:  $\alpha_1=\beta_1=\gamma_1=0$  [рад]; начальные значения угловых скоростей ПУ:  $p_1=q_1=r_1=0$  [рад/с]; начальные значения углов ПУ:  $\alpha_1=\beta_1=\gamma_1=0$  [рад];  $c_1, d_1, c_2, d_2=10$ ;  $\alpha_{1k}=-0,3$  [рад];  $\beta_{1k}=0,4$  [рад]; время интегрирования 100 [с].

Корректность полученных результатов интегрирования уравнений динамики КА проверялась из условия сохранения естественных интегралов движения (сохранение кинетического момента и сохранение кинетической энергии при свободном движении).

Результаты моделирования приведены на рис. 2-6.

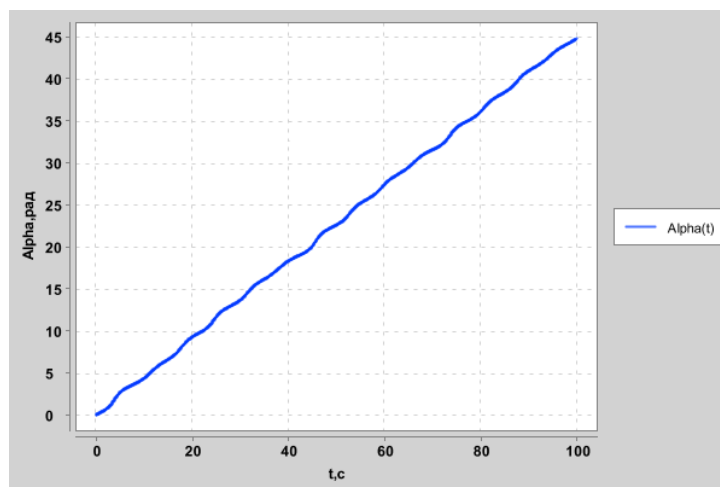


Рис. 2. Зависимость угла  $\alpha_1$  корпуса КА от времени

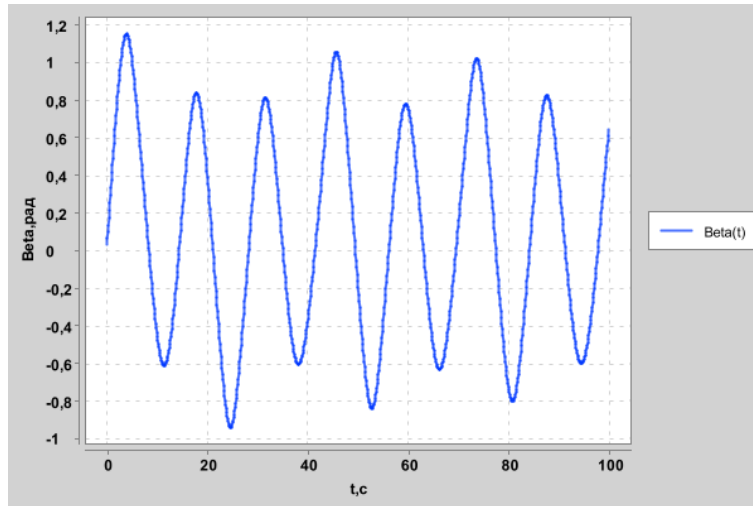


Рис. 3. Зависимость угла  $\beta_1$  корпуса КА от времени

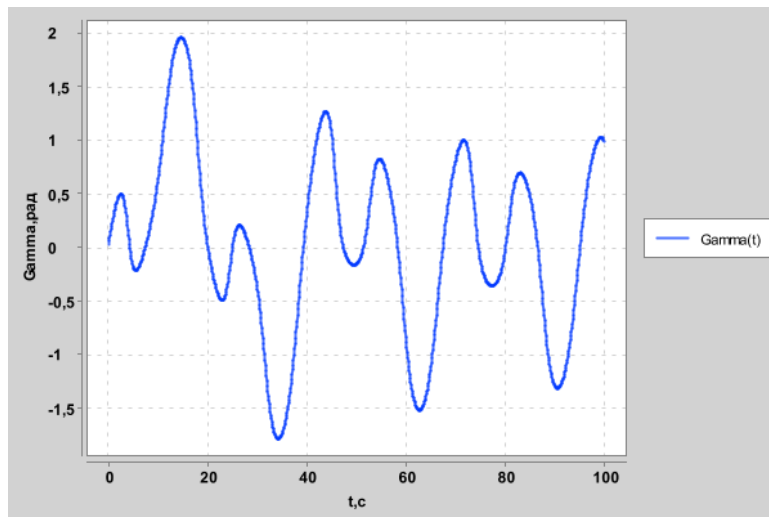


Рис. 4. Зависимость угла  $\gamma_1$  корпуса КА от времени

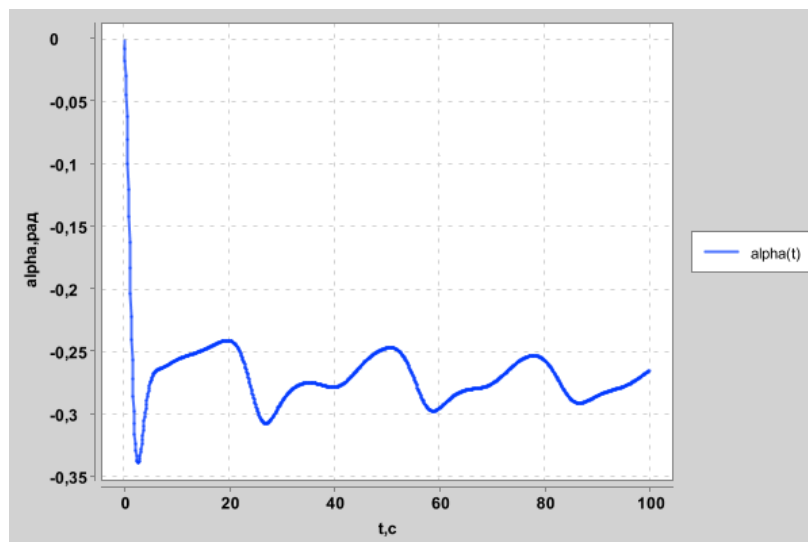


Рис. 5. Зависимость угла  $\alpha_2$  ПУ от времени

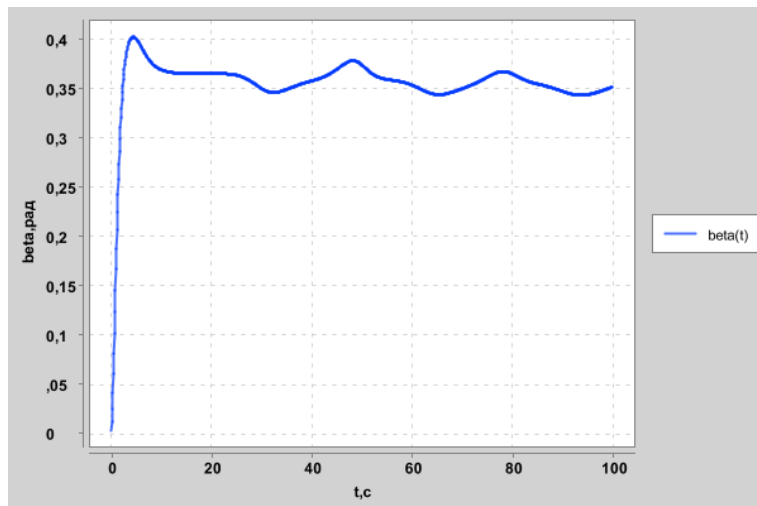


Рис. 6. Зависимость угла  $\beta_2$  ПУ от времени

Как видно из графиков, динамика движения несущего тела близка к динамике движения свободного твёрдого тела. Значения углов  $\alpha_2$  и  $\beta_2$  стремятся к требуемым конечным значениям.

#### Библиографический список

1. Schiehlen W. Research trends in multibody system dynamics//Multibody System Dynamics. – 2007. – Т. 18. – №. 1. – С. 3-13.
2. Wittenburg J. (1977), Dynamics of Systems of Rigid Bodies. Stuttgart: Teubner.
3. Likins P.W. (1986), Spacecraft Attitude Dynamics and Control – A Personal Perspective on Early Developments, J. Guidance Control Dyn. Vol. 9, No. 2, pp. 129-134.
4. Бейнум П.М., Фуксел П.Дж., Мэксон Д.Л. Движение и устойчивость спутника с двойным вращением, снабженного демпферами нутации // Сборник статей. Механика. Новое в зарубежной науке. Задачи стабилизации составных спутников. М.: Мир, 1975. С. 59-78.
5. Аншаков Г.П., Асланов В.С., Балакин В.Л., Дорошин А.В., Квашин А.С., Круглов Г.Е., Юдинцев В.В. Динамические процессы в ракетно-космических системах // Вестник Самарского государственного аэрокосмического университета им. академика С.П. Королёва (национального исследовательского университета). – 2003. – №. 1.
6. Асланов В.С., Дорошин А.В. Стабилизация спускаемого аппарата частичной закрутки при осуществлении неуправляемого спуска // Космические исследования. – 2002. – Т. 40. – №. 2. – С. 193-200.
7. Асланов В.С., Дорошин А.В. О двух случаях движения неуровновешенного гиростата // Изв. РАН. МТТ. 2006. №4, С. 42-55.
8. Doroshin A.V., Heteroclinic chaos and its local suppression in attitude dynamics of an asymmetrical dual-spinspacecraft and gyrostat-satellites. The part I – main models and solutions, Communications in Nonlinear Science and Numerical Simulation (2016), 31 (1-3), pp. 151-170.